

شبیه‌سازی عددی نیروگاه دودکش خورشیدی (SCPP) در شهرهای جنوبی ایران با استفاده از شبیه‌سازی عددی حجم محدود

رضا بابائی اسپوئی

دکتری، گروه مهندسی مکانیک، دانشگاه فنی و حرفه‌ای، تهران، ایران

babaeitmu@gmail.com

مصطفی ذکریاپور

استادیار، گروه مهندسی مکانیک و هوافضا، واحد رامسر، دانشگاه آزاد اسلامی، رامسر، ایران (نویسنده مسئول)

m.zakariapour@iauramsar.ac.ir

رضا ناصری

استادیار، گروه مهندسی مکانیک، دانشگاه فنی و حرفه‌ای، تهران، ایران

rnaseri@tvu.ac.ir

چکیده

تاریخ دریافت:

۱۴۰۱/۰۲/۳۱

تاریخ پذیرش:

۱۴۰۱/۰۸/۱۴

کلمات کلیدی:

نیروگاه دودکش خورشیدی
شهرهای جنوبی ایران
حجم محدود
انسيس فلونت
توان خروجی

در کار حاضر، شبیه‌سازی عددی حجم‌محدود نیروگاه خورشیدی با استفاده از نرم‌افزار انسيس فلونت (FLUENT-ANSYS) در شرایط آب و هوایی شهرهای اهواز، بندرعباس، کرمان و شیراز انجام شد. در این شبیه‌سازی، شرایط آب و هوایی شهرها با در نظر گرفتن میزان تشعشع خورشید، دمای محیط و سرعت باد در نظر گرفته می‌شود. کانتورهای سرعت و فشار نشان داد که تغییرات عمده در سرعت و فشار در ناحیه اتصال کلکتور و دودکش اتفاق می‌افتد. افت فشار متوسط برای شهرهای اهواز، بندرعباس، کرمان و شیراز به ترتیب ۱۲۰٫۹، ۱۱۹٫۸۳، ۱۳۴ و ۱۲۷ پاسکال و میزان سرعت متوسط به ترتیب ۱۳٫۵، ۱۳٫۴۴، ۱۴٫۲۵ و ۱۳٫۸۸ متر بر ثانیه است. نتایج نشان داد که در نیروگاه خورشیدی با مساحت ۴۷۰۰۰ مترمربع، کرمان بهترین عملکرد در تولید توان با ۴۵٫۷ کیلووات را دارد و شیراز با ۴۲٫۱ کیلووات در رتبه بعدی است. اهواز و بندرعباس توان خروجی تقریباً برابر و در حد ۳۹ کیلووات دارند. همچنین مشاهده شد که میزان توان تولیدی در شهر کرمان حدود ۱۷ درصد بیشتر از اهواز می‌باشد؛ در حالی که میزان تشعشع اهواز و کرمان تقریباً برابر با ۷۵۰ وات بر مترمربع است. بنابراین در یک مقدار تشعشع برابر، هر چه دمای محیط کمتر و سرعت باد بیشتر باشد؛ میزان توان تولیدی افزایش خواهد یافت. همچنین شبیه‌سازی برای فصول مختلف و در طول روز نشان داد که توان تولیدی در هنگام ظهر در فصل زمستان ۱۲٫۱ کیلووات و افزایش میزان توان تولیدی برای فصول پاییز، بهار و تابستان نسبت به زمستان به ترتیب ۴۲٫۲٪ (۱۷٫۲)، ۱۳۳٫۱۱٪ (۲۸٫۳) و ۱۹۰٫۹٪ (۳۵٫۱۵) است.

۱. مقدمه

در حال حاضر، بیش از ۸۰ درصد از کل مصرف انرژی جهان مربوط به سوخت‌های فسیلی است [۱]. طبق پیش‌بینی‌ها قرار است که تا سال ۲۰۳۰ سهم سوخت‌های فسیلی به ۷۳ درصد برسد. دلیل تلاش برای کاهش سهم سوخت‌های فسیلی، محدودیت منابع و اثرات مخرب زیست‌محیطی آن است و از این رو تمایل بشر به استفاده از انرژی‌های نو و تجدیدپذیر^۱ مانند انرژی خورشیدی به شدت افزایش یافته است [۲]. یکی از تکنولوژی‌های ساده و مدرن در استفاده از انرژی خورشیدی، نیروگاه دودکش خورشیدی^۲ (SCPP) می‌باشد. هزینه بهره‌برداری و نگهداری بسیار پایین، مهمترین امتیاز نیروگاه خورشیدی است. مناطق جنوبی کشور ایران با دریافت ۳۸۰۰ تا ۵۴۰۰ کیلووات ساعت در روز، جزء مناطق مستعد در زمینه کاربردهای انرژی خورشیدی می‌باشند [۳]. نیروگاه خورشیدی شامل کلکتور^۳، دودکش^۴، توربین باد^۵ و لایه جذب انرژی^۶ (بستر خاکی) است که در آن یک اثر گلخانه‌ای بین کلکتور و کف بستر خاک به وجود می‌آید. هوای داغ و سبک با گذر از توربین و چرخش آن، از دودکش نیروگاه خارج می‌شود. کوپلینگ بین توربین و ژنراتور وظیفه تبدیل انرژی جنبشی به الکتریکی را بر عهده دارد [۴].

اولین نمونه عملی نیروگاه خورشیدی در شهر مانزانارس اسپانیا با ظرفیت ۵۰ کیلووات آزمایش شد که نتایج کار آنها مبنای اولیه تحقیقات بسیاری بوده است [۴]. پاسمارتی و شریف^۷ [۵] از مدل تحلیلی-ریاضی جهت بررسی اثرات هندسی و محیطی بر روی نیروگاه خورشیدی استفاده کردند. پاساتور و همکاران^۸ [۶] یک مدل ترکیبی عددی-تحلیلی جهت ارائه توزیع دمایی در دامنه حل نیروگاه خورشیدی ارائه دادند. تینگژن و همکاران^۹ [۷] برای اولین بار یک شبیه‌سازی عددی بر روی توربین واقعی انجام دادند و نشان دادند که برای نمونه اسپانیایی توربین سه‌تیغه‌ای و برای نیروگاه جدید در اندازه مگاوات توربین پنج‌تیغه‌ای مناسب است. در حوزه افزایش راندمان سیستم نیروگاه خورشیدی تحقیقاتی در زمینه دور توربین، تعداد تیغه توربین، ارتفاع دودکش و قطر کلکتور [۸]، شعاع و ارتفاع کلکتور و دودکش و همچنین مقدار شار تابشی خورشید [۹]، زاویه تقعر و شیب دودکش و کلکتور [۱۰]، اندازه کف تا آینه کلکتور [۱۱] و سرعت باد و مقادیر تابشی [۱۲] صورت گرفته است. غلامعلی‌زاده و کیم^{۱۰} [۱۳] با استفاده از الگوریتم ژنتیک و روش PSO به بهینه‌سازی هندسی نیروگاه خورشیدی مدل اسپانیا شامل قطر کلکتور و شعاع دودکش پرداختند. همچنین سپس از این الگوریتم بهینه‌سازی برای شرایط آب و هوای کرمان نیز استفاده و مقادیر بهینه ارتفاع و قطر دودکش و شعاع کلکتور توسط غلامعلی‌زاده و کیم گزارش شد. در این مطالعه مقادیر ارتفاع ورودی و خروجی کلکتور را ۱٫۵ و ۲٫۹۵ متر بدست آوردند [۱۴]. نجم و شعبان^{۱۱} [۱۵] با استفاده از مدل شبیه‌سازی توربین نشان دادند که در یک شار تابشی ۵۰۰ وات بر متر مربع مقدار افت فشار بهینه توربین به میزان ۱۵۰ پاسکال می‌باشد. کیوان و سلیم^{۱۲} [۱۶] با استفاده از مدل ترکیبی نیروگاه خورشیدی آب شیرین‌کن، راندمان سیستم را از یک درصد به پنج درصد افزایش دادند. ترابی و همکاران^{۱۳} [۱۷] به بررسی زوایای واگرایی دودکش پرداختند. آنها نشان دادند که در زوایای ۱، ۲ و ۳ درجه به ترتیب ۵۷، ۷۵ و ۸۰ درصد افزایش نسبت به حالت صفر درجه ایجاد

^۱ Renewable energy

^۲ Solar Chimney Power Plant

^۳ Collector

^۴ Chimney

^۵ Wind Turbine

^۶ Energy Storage Layer

^۷ Pasumarthi and Sherif

^۸ Pastohr et al

^۹ Tingzhen et al

^{۱۰} Gholamalzaheh and Kim

^{۱۱} Najm and Shaaban

^{۱۲} Kiwan and Salim

^{۱۳} Torabi et al

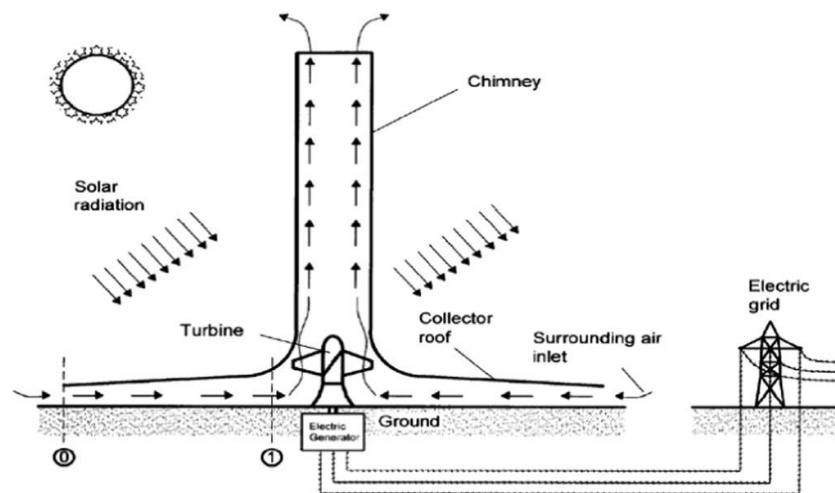
می‌گردد. ولی و همکاران^۱ [۱۸] به بررسی و امکان‌سنجی احداث نیروگاه خورشیدی در شمال کشور عراق پرداختند. آنها نشان دادند که در این منطقه، نیروگاه خورشیدی توانایی تولید توان تا ۴۷,۷ کیلووات را دارد. امودان و چندرموهان^۲ [۱۹] به بررسی سیستم‌های ذخیره انرژی و اثر آن بر روی سرعت جریان و توان خروجی پرداختند.

در زمینه نیروگاه خورشیدی مطالعات مختلفی انجام شده است، اما تحقیقات در زمینه شبیه‌سازی احداث نیروگاه خورشیدی مجهز به توربین بادی بهینه‌سازی شده در شهرهای ایران اندک است. همچنین در مطالعات قبلی، مبنای محاسبات براساس شار تابشی بوده است و از اثر دمای محیط و سرعت باد صرف نظر شده است در حالی که در کار حاضر بررسی توان تولیدی یک نیروگاه خورشیدی با در نظر گرفتن همزمان شار تابشی، دمای محیط و سرعت باد مختص هر شهر انجام پذیرفته است.

۲. روش‌شناسی

۲.۱. بیان مسئله

در تحقیق حاضر یک شبیه‌سازی عددی بر روی نیروگاه دودکش خورشیدی انجام می‌شود (شکل ۱). در ابتدا جهت اعتبار‌سنجی نتایج شبیه‌سازی از مدل فیزیکی ساخته شده در مانزانارس اسپانیا [۳] استفاده می‌گردد سپس با در نظر گرفتن شرایط آب و هوایی شامل شار تابشی، دما و سرعت باد به بررسی چهار شهر جنوبی ایران شامل اهواز، بندرعباس، کرمان و شیراز پرداخته خواهد شد. یک دید کلی از مدل فیزیکی و مشخصات هندسی مورد مطالعه در شکل ۲ نشان داده شده است. در این مدل ارتفاع دودکش ۱۹۶,۶ متر، قطر دودکش ۱۰ متر، شعاع کلکتور ۱۲۱,۶ متر (مساحت ۴۷۰۰۰ متر مربع)، ارتفاع کف تا سقف کلکتور در ورودی و خروجی به ترتیب ۱,۹۵ متر و ۶ متر و همچنین ضخامت بستر خاک^۳ به عنوان ضخامت بخش ذخیره‌ساز انرژی ۵ متر می‌باشد. خواص هوا و خاک شامل دانسیته^۴، گرمای ویژه^۵، هدایت حرارتی^۶، ضریب تخلخل^۷ و ضریب انبساط حجمی^۸ در جدول ۱ آمده است [۲۰].



۱ Weli et al

۲ Amudam and Chandramohan

۳ Soil

۴ Density

۵ Specific heat capacity

۶ Thermal conductivity

۷ Porosity

۸ Thermal expansion coefficient

جدول ۲. تنظیمات شرایط مرزی در نرم افزار انسیس فلوئنت

شهر	تابش خورشید (W/m ^۲)	دمای ورودی به کلکتور (K)	سرعت باد هنگام ظهر (m/s)	ضریب جابجایی (W/m ^۲ .K)
مانزانارس (اسپانیا)	[۳] ۸۰۰-۱۰۰۰	[۳] ۲۹۳	[۳] ۱	۱۰
بندرعباس	[۲۳] ۷۰۰	[۲۴] ۳۰۸	[۲۴] ۲,۷	۱۶
اهواز	[۲۳] ۷۵۰	[۲۴] ۳۱۳	[۲۴] ۲,۶	۱۵,۶
شیراز	[۲۵] ۷۳۲	[۲۳] ۳۰۷	[۲۵] ۲,۲	۱۴
کرمان	[۲۶] ۷۵۰	[۲۷] ۳۰۴	[۲۶] ۲,۷۵	۱۶,۱۵

۲.۲. معادلات حاکم

جهت شبیه سازی نیروگاه خورشیدی، معادلات پیوستگی، بقای مومنتوم، بقای انرژی و آشفتگی به صورت کوپل حل می شوند. خواص دانه سسته هوا به وسیله تقریب بوزین سک^۱ بیان می شود. معادلات حاکم در دو ناحیه شامل ناحیه دودکش و ناحیه متخلخل^۲ جاذب حرارت (بستر خاکی) به صورت مجزا در ادامه بررسی می گردد.

▪ معادله پیوستگی [۲۸]:

$$\frac{\partial \rho}{\partial t} + \frac{\partial}{\partial x_i} (\rho u_i) = 0 \quad (۲)$$

▪ معادله انتقال مومنتوم در ناحیه کلکتور و دودکش (ناویر- استوکس^۳) [۲۹]:

$$\frac{\partial}{\partial t} (\rho u_i) + u_j \frac{\partial}{\partial x_j} (\rho u_i) = -\frac{\partial p}{\partial x_i} + \frac{\partial}{\partial x_j} [(\mu + \mu_t) \bar{S}_{ij}] + \rho g \beta (T - T_{ref}) \quad (۳)$$

▪ معادله انتقال مومنتوم در ناحیه بستر خاکی (ماده متخلخل) به صورت مدل دارسی- فریشمر^۴ [۲۹]:

$$\frac{\rho}{\varepsilon} \left[\frac{\partial u_i}{\partial t} + \frac{1}{\varepsilon} u_j \frac{\partial u_i}{\partial x_j} \right] = -\frac{\partial p}{\partial x_i} + \frac{\partial}{\partial x_j} [\mu \bar{S}_{ij}] - \frac{\mu u_i}{\alpha} - \rho \frac{C_2 u_i u_i}{2} \quad (۴)$$

$$\alpha = \frac{d_p^2}{150} \frac{\varepsilon^3}{(1-\varepsilon)^2} \quad (۵)$$

$$C_2 = \frac{3.5 (1-\varepsilon)}{d_p \varepsilon^3} \quad (۶)$$

^۱ Boussinesq

^۲ Porous media

^۳ Navier-Stokes

^۴ Forchheimer-Darcy Model

در معادلات مذکور، ε ضریب تخلخل بستر خاک، α ضریب عبور بستر خاکی^۱، C_2 ضریب مقاومت اینرسی^۲ و dp قطر دانه خاک می‌باشد.

▪ معادله انرژی در ناحیه کلکتور و دودکش [۳۰]:

$$\frac{\partial T}{\partial t} + \frac{\partial}{\partial x_j} (\rho c_p u_j T) = \frac{\partial}{\partial x_j} \left[K \frac{\partial T}{\partial x_j} \right] \quad (7)$$

▪ معادله انرژی در ناحیه بستر خاکی [۲۱]:

$$\frac{\partial T}{\partial t} + \frac{\partial}{\partial x_j} (\rho c_p u_j T) = \frac{\partial}{\partial x_j} \left[K \frac{\partial T}{\partial x_j} \right] \quad (8)$$

$$(\rho c)_m = (1 - \varepsilon)(\rho c)_s + \varepsilon(\rho c)_f \quad (9)$$

$$K_m = (1 - \varepsilon)K_s + \varepsilon K_f \quad (10)$$

در معادلات مذکور، اندیس f ، s و m به ترتیب خواص هوا، ماده متخلخل (بستر خاکی) و خواص مرکب بستر خاکی را بیان می‌کند [۲۱].

▪ معادلات آشفتگی [۳۱]:

در کار حاضر از مدل اغتشاشی $k-\varepsilon$ RNG استفاده می‌گردد که در آن انرژی جنبشی اغتشاشی^۳ (k)، نرخ استهلاک اغتشاشی^۴ (ε) و لزجت اغتشاشی^۵ (μ_t) در ادامه آمده است [۳۱].

$$\frac{\partial \rho k}{\partial t} + \frac{\partial}{\partial x_j} (\rho u_j k) = \frac{\partial}{\partial x_j} \left[\left(\mu + \frac{\mu_t}{\sigma_k} \right) \frac{\partial k}{\partial x_j} \right] + G + B - \rho \varepsilon \quad (11)$$

$$\frac{\partial \rho \varepsilon}{\partial t} + \frac{\partial}{\partial x_j} (\rho u_j \varepsilon) = \frac{\partial}{\partial x_j} \left[\left(\mu + \frac{\mu_t}{\sigma_\varepsilon} \right) \frac{\partial \varepsilon}{\partial x_j} \right] + \frac{\varepsilon}{k} (C_1 G - C_2 \rho \varepsilon + C_1 B) \quad (12)$$

$$\mu_t = C_\mu \rho \frac{k^2}{\varepsilon} \quad (13)$$

۳. روش حل

۳.۱. مدل سازی

جهت مدل سازی نیروگاه خور شیدی از نرم افزار تجاری گمبیت^۶ جهت ترسیم هندسی و شبکه بندی مسئله و از نرم افزار انسیس فلونت^۷ جهت تحلیل حرارتی-سیالاتی استفاده شده است. جهت کوپلینگ معادلات سرعت-فشار از الگوریتم سیمپل^۸، گسسته سازی معادله فشار از

۱ Permeability

۲ Inertial resistance factor

۳ Turbulence kinetic energy

۴ Rate of energy dissipation

۵ Turbulent viscosity

۶ Gambit

۷ Ansys fluent

۸ SIMPLE

روش گسسته‌سازی پرتو^۱ و برای دیگر معادلات از روش مرتبه سوم کوئیک^۲ بهره گرفته شده است. مقدار باقیمانده^۳ برای معادله انرژی ۸-۱۰ و برای بقیه معادلات ۵-۱۰ انتخاب شده است. جهت مدل سازی اغتشاشی نیز از مدل RNG k-epsilon در نرم افزار انسیس فلوئنت استفاده شد.

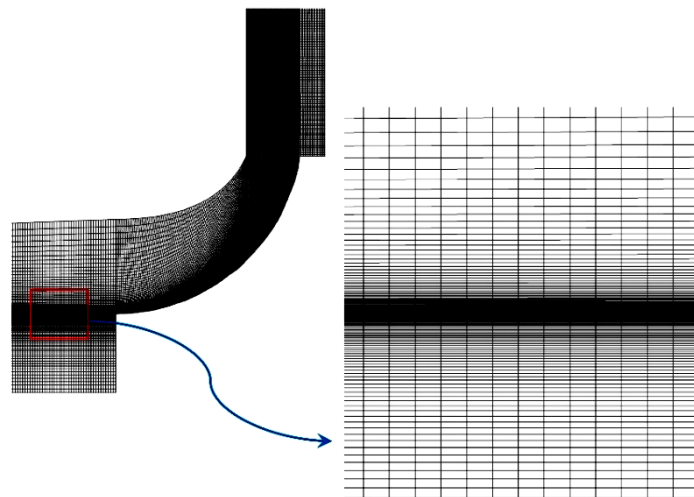
۳.۲. شبکه بندی و شرایط مرزی

در کار حاضر شبکه بندی به صورت شبکه با سازمان^۴ و غیر هم اندازه انجام می پذیرد. به منظور افزایش دقت حل، شبکه در اطراف چشمه حرارتی و توربین ریز شده است (شکل ۳). اندازه اولین گره شبکه در اطراف چشمه حرارتی ۰٫۱ میلی متر می باشد و اندازه شبکه های بعدی با یک نسبت مشخص افزایش می یابند. بر روی دیوارها شرط عدم لغزش^۵ برقرار است.

۴. نتایج و بحث

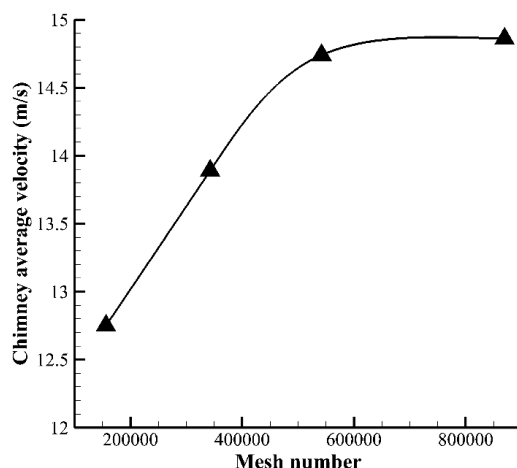
۴.۱. استقلال از شبکه و اعتبارسنجی

جهت بررسی استقلال از شبکه، مقدار سرعت خروجی از دودکش نیروگاه خورشیدی نمونه مانزانارس اسپانیا [۳] برای ۴ شبکه مختلف ارزیابی شد. با توجه به شکل ۴، تعداد شبکه ۵۴۲،۰۰۰ به عنوان شبکه مناسب انتخاب می گردد و نیازی به تعداد شبکه بیشتر نیست.



شکل ۳. شبکه بندی هندسه نیروگاه خورشیدی

- ۱ PRESTO
- ۲ QUICK
- ۳ Residual
- ۴ Structured
- ۵ No slip



شکل ۴. بررسی استقلال از شبکه

جهت صحت‌سنجی نتایج حل عددی، مقادیر سرعت خروجی از دودکش، افزایش دما و توان خروجی ارزیابی می‌شود. میزان توان خروجی از توربین توسط رابطه زیر بیان می‌شود [۳۲]:

$$P_{output} = \eta_{tur} \cdot x \cdot \Delta p \cdot \sqrt{1-x} \cdot Q \quad (14)$$

در رابطه بالا Δp افت فشار و Q دبی حجمی است. x نیز نسبت افت فشار توربین به افت فشار کل سیستم است که در حالت بهینه ۰.۸۱ می‌باشد. همچنین η راندمان توربین می‌باشد که ۸۰٪ در نظر گرفته می‌شود [۲۱]. جدول ۳ نتایج حل عددی را در شار تابشی 1000 W/m^2 نشان می‌دهد. میزان خطا برای میزان افزایش دما و سرعت خروجی از دودکش به ترتیب ۷.۵ و ۵.۳ درصد می‌باشد. بنابراین می‌توان به نتایج شبیه‌سازی در کار حاضر برای شهرهای مختلف اعتماد نمود.

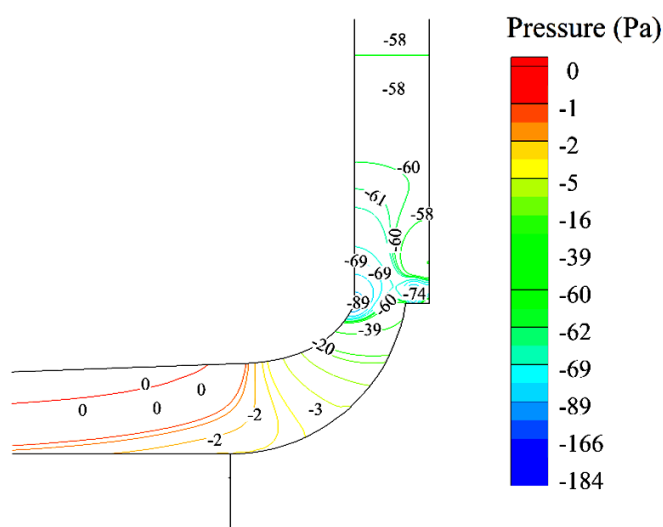
جدول ۳. مقایسه نتایج حل عددی با نتایج مدل فیزیکی مانراناس (اسپانیا) و دیگر کارهای عددی

نتایج	افزایش دما در طول کلکتور (K)	سرعت خروجی از دودکش (m/s)	توان خروجی (kW)
مانراناس (اسپانیا) [۳]	۲۰	۱۵	۳۶
ژو و همکاران [۳۳]	-	-	۴۰
رابجی و همکاران [۳۴]	۲۵.۵	۱۶	۴۵
کار حاضر	۱۸.۵	۱۴.۲	۳۸
درصد خطا برای کار حاضر (%)	۷.۵	۵.۳	۶

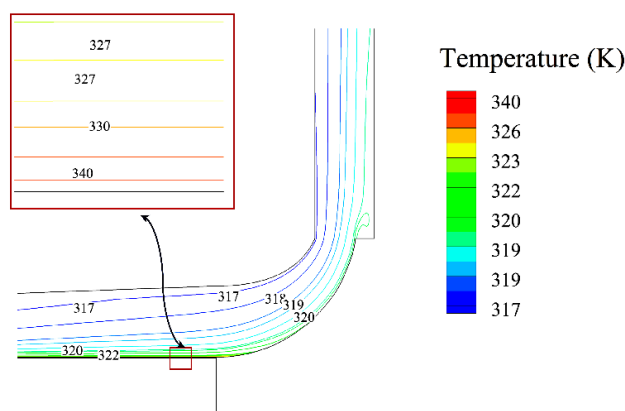
۲.۴. بررسی نتایج

شکل ۵ کانتور فشار استاتیکی را برای نیروگاه خورشیدی برای شهر اهواز را نشان می‌دهد. مشاهده می‌شود که فشار ورودی و خروجی در فشار اتم سفر قرار دارد و عمده کاهش فشار در محل اتصال کلکتور و دودکش اتفاق می‌افتد که به صورت مقادیر منفی در شکل ۵ آمده

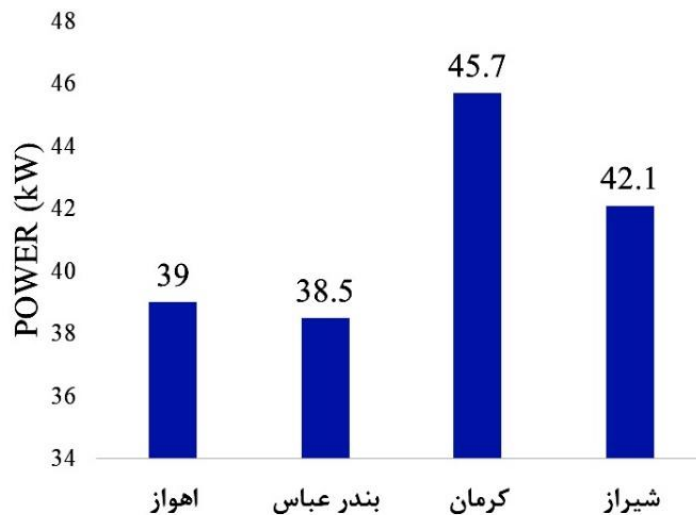
است. کانتور دما (شکل ۶) نشان می‌دهد که در مرز جاذب، افزایش دما تا حدود ۳۴۰ کلوین (۶۷ دره سانتی‌گراد) ایجاد شده که سبب ایجاد جابجایی هوا به سمت دودکش می‌شود. شکل‌های ۷ و ۸ نیز کانتور سرعت جریان را برای شهرهای اهواز، بندرعباس، کرمان و شیراز نشان می‌دهد. همان‌گونه که مشخص است؛ افزایش سرعت در نزدیکی اتصال کلکتور و دودکش اتفاق می‌افتد که با کاهش فشار در این ناحیه هماهنگی دارد. میزان سرعت متوسط برای شهرهای اهواز، بندرعباس، کرمان و شیراز در نرم‌افزار انسیس فلونت به ترتیب ۱۳،۴۴، ۱۳،۲۵ و ۱۳،۸۸ متر بر ثانیه بدست می‌آید. مقادیر سرعت بدست آمده با در نظر گرفتن مساحت ورودی دودکش، دبی حجمی را نتیجه می‌دهند. افت فشار متوسط محاسبه برای شهرهای اهواز، بندرعباس، کرمان و شیراز در نرم‌افزار انسیس فلونت نیز به ترتیب ۱۲۰،۹، ۱۱۹،۸۳ و ۱۳۴،۱۲۷ پاسکال بدست می‌آید. این مقادیر سبب گردش توربین خواهند شد. شکل ۹ نیز میزان توان خروجی از نیروگاه دودکش خورشیدی را برای چهار شهر اهواز، بندرعباس، کرمان و شیراز نشان می‌دهد که این توان خروجی بین ۳۸،۵ تا ۴۵،۷ کیلووات می‌باشد.



شکل ۵. کانتور فشار استاتیکی برای شرایط آب و هوایی شهر اهواز



شکل ۶. کانتور دمای استاتیکی برای شرایط آب و هوایی شهر اهواز



شکل ۹. توان خروجی تولیدی توسط نیروگاه خورشیدی برای شهرهای مختلف

جهت بررسی تغییرات روزانه و فصول مختلف بر روی عملکرد نیروگاه خورشیدی، شرایط آب و هوایی شهر اهواز با توجه به جدول ۴ در نظر گرفته می‌شود.

جدول ۴. شرایط آب و هوایی شهر اهواز در فصول مختلف [۳]

نتایج	تابش حداکثر (W/m^2)	دمای میانگین ($^{\circ}C$)
بهار (اول فروردین)	۶۸۸	۲۲,۵
تابستان (اول تیر)	۹۰۰	۳۸
پاییز (اول مهر)	۶۱۲	۲۸
زمستان (اول دی)	۵۱۹	۱۴

جهت مدل‌سازی تغییرات تابش روزانه خورشید از رابطه ۱۵ استفاده می‌شود. در این رابطه پارامتر N تعداد روزهای آفتابی (دو روز پشت سر هم) و $\phi_{solar,max}$ تابش در زمان ظهر است. کد برنامه به صورت 1 UDF به نرم‌افزار فلوئنت معرفی می‌شود.

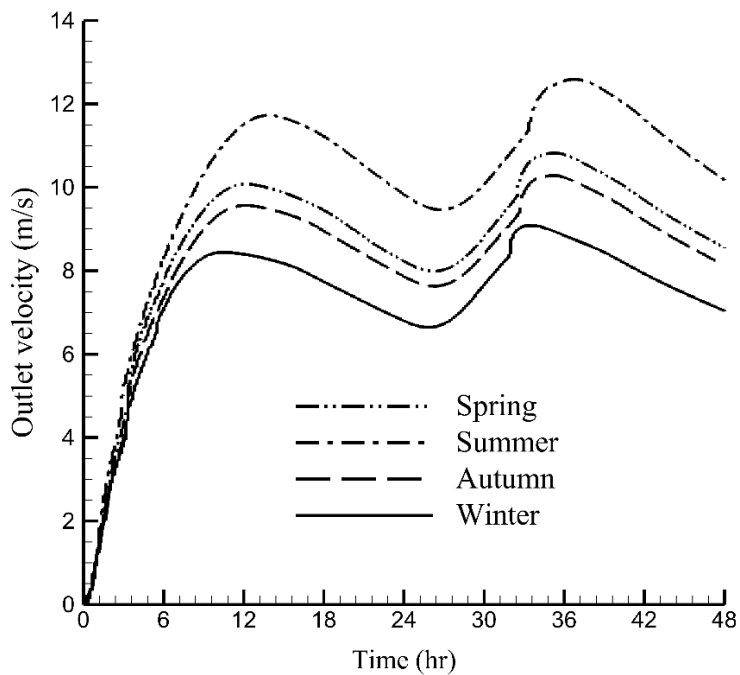
$$\phi_{solar} = \phi_{solar,max} \sin\left(\frac{t-1440n}{720} \pi\right) \quad (15)$$

$$0 < t-1440n < 720 \quad (n = 0,1)$$

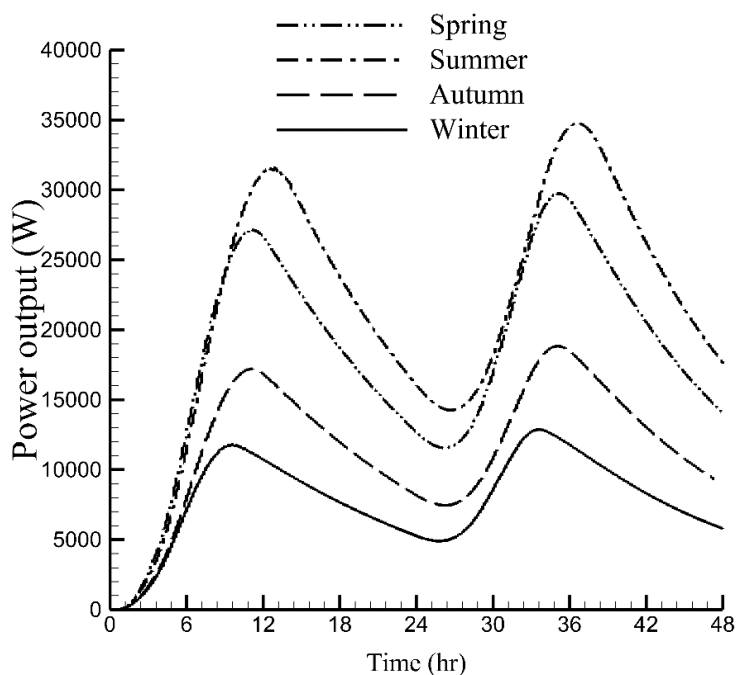
$$\phi_{solar} = 0 \quad 720 < t-1440n < 1440 \quad (n = 0,1)$$

همانطور که در شکل ۱۰ نشان داده شده است؛ میزان افزایش سرعت هوا در فصول زمستان، پاییز، بهار و تابستان به ترتیب ۱، ۲، ۹، ۱۰، ۱۰، ۱۲، ۳ و ۱۲، ۳ متر بر ثانیه می‌باشد. میزان توان خروجی در هر لحظه از روز برای فصول مختلف (شکل ۱۱) نشان می‌دهد که میزان توان تولیدی در هنگام ظهر در فصول زمستان، پاییز، بهار و تابستان به ترتیب ۱۲، ۱، ۱۷، ۲، ۲۸، ۳ و ۳۵، ۱۵ کیلووات می‌باشد.

¹ User Define Function



شکل ۱۰. میزان سرعت خروجی برای فصول مختلف برای شهر اهواز



شکل ۱۱. میزان توان خروجی برای فصول مختلف برای شهر اهواز

۵. نتیجه گیری

در کار حاضر یک نیروگاه خورشیدی با استفاده از نرم افزار انسیس فلونت شبیه سازی شده است. شبیه سازی برای شرایط آب و هوایی چهار شهر اهواز، بندرعباس، کرمان و شیراز انجام شده است. شبکه بندی با استفاده از نرم افزار گمبیت انجام شده است. روش شبیه سازی بدین

صورت است که شرایط آب و هوایی شهرهای حاضر با در نظر گرفتن همزمان میزان تشعشع خورشید، دمای محیط و سرعت باد در نظر گرفته می‌شود. کانتورهای سرعت و فشار نشان می‌دهد که تغییرات عمده در سرعت و فشار در ناحیه اتصال کلکتور و دودکش اتفاق می‌افتد. افت فشار متوسط برای شهرهای اهواز، بندرعباس، کرمان و شیراز به ترتیب ۱۲۰٫۹، ۱۱۹٫۸۳، ۱۳۴ و ۱۲۷ پاسکال و میزان سرعت متوسط برای شهرهای اهواز، بندرعباس، کرمان و شیراز به ترتیب ۱۳٫۵، ۱۳٫۴۴، ۱۴٫۲۵ و ۱۳٫۸۸ متر بر ثانیه بدست می‌آید. نتایج نشان داد که کرمان در تولید توان، بهترین عملکرد را با ۴۵٫۷ کیلووات دارد. شیراز با ۴۲٫۱ کیلووات در رتبه بعدی قرار دارد. اهواز و بندرعباس توان خروجی تقریباً برابر و در حد ۳۹ کیلووات دارند. نتایج نشان داد که دمای محیط و سرعت باد نیز مانند میزان تشعشع خورشید در میزان توان خروجی اثرگذار هستند. نتیجه مهم مطالعه حاضر این است که علاوه بر شدت تابش خورشید، مقادیر دمای ورودی و سرعت باد نیز در نتایج موثر هستند از این رو میزان تشعشع شهرهای اهواز و کرمان تقریباً برابر با ۷۵۰ وات بر مترمربع می‌شود؛ ولی میزان توان تولیدی در شهر کرمان حدود ۱۷ درصد بیشتر از توان تولیدی شهر اهواز می‌باشد. این نتیجه نشان می‌دهد که در یک مقدار تشعشع برابر، هر چه دمای محیط کمتر و سرعت باد بیشتر باشد؛ میزان توان تولیدی نیز افزایش خواهد یافت. در کار حاضر همچنین یک شبیه‌سازی بر روی تولید توان الکتریکی در فصول مختلف و در ساعات‌های مختلف در طول روز انجام شد. نتایج نشان داد که میزان توان تولیدی در هنگام ظهر در فصل زمستان ۱۲٫۱ کیلووات و افزایش میزان توان تولیدی برای فصول پاییز، بهار و تابستان نسبت به فصل زمستان به ترتیب ۴۲٫۲ درصد، ۱۳۳٫۱۱ درصد و ۱۹۰٫۹ درصد می‌باشد.

- [۱] Y. Cao, A. Doustgani, A. Salehi, M. Nemati, A. Ghasemi, O. Koohshekan, The economic evaluation of establishing a plant for producing biodiesel from edible oil wastes in oil-rich countries: Case study Iran, *Energy* ۲۱۳ (۲۰۲۰) ۱۱۸۷۶۰.
- [۲] R. Rabehi, A. Chaker, Z. Aouachria, M. Tingzhen, CFD analysis on the performance of a solar chimney power plant system: Case study in Algeria, *International Journal of Green Energy* ۱۴(۱۲) (۲۰۱۷) ۹۷۱-۹۸۲.
- [۳] G. Heidarinejad, S. Delfani, Guidelines for the selection of outdoor design conditions for Iranian cities, *Road, Housing & Urban Development Research Center (BHRC)* (۲۰۰۷).
- [۴] W. Haaf, K. Friedrich, G. Mayr, J. Schlaich, Solar chimneys part I: principle and construction of the pilot plant in Manzanares, *International Journal of Solar Energy* ۲(۱) (۱۹۸۳) ۳-۲۰.
- [۵] N. Pasumarthi, S.A. Sherif, Performance of a demonstration solar chimney model for power generation, *CALIFORNIA STATE UNIV, SACRAMENTO, CA,(USA)* (۱۹۹۷) ۲۰۳-۲۴۰.
- [۶] H. Pastohr, O. Kornadt, K. Gürlebeck, Numerical and analytical calculations of the temperature and flow field in the upwind power plant, *International Journal of Energy Research* ۲۸(۶) (۲۰۰۴) ۴۹۰-۵۱۰.
- [۷] M. Tingzhen, L. Wei, X. Guoling, X. Yanbin, G. Xuhu, P. Yuan, Numerical simulation of the solar chimney power plant systems coupled with turbine, *Renewable Energy* ۳۳(۵) (۲۰۰۸) ۸۹۷-۹۰۵.
- [۸] A. Kasaeian, A.R. Mahmoudi, F.R. Astaraei, A. Hejab, 3D simulation of solar chimney power plant considering turbine blades, *Energy Conversion Management* ۱۴۷.۵۵-۶۵ (۲۰۱۷)
- [۹] D. Toghraie, A. Karami, M. Afrand, A.J.E. Karimipour, Effects of geometric parameters on the performance of solar chimney power plants, *Energy* ۱۶۲ (۲۰۱۸) ۱۰۵۲-۱۰۶۱.
- [۱۰] A. Hassan, M. Ali, A. Waqas, Numerical investigation on performance of solar chimney power plant by varying collector slope and chimney diverging angle, *Energy* ۱۴۲ (۲۰۱۸) ۴۱۱-۴۲۰.
- [۱۱] A. Ayadi, A. Bouabidi, Z. Driss, M.S. Abid, Experimental and numerical analysis of the collector roof height effect on the solar chimney performance, *Renewable Energy* ۱۱۰ (۲۰۱۸) ۶۴۹-۶۶۲.
- [۱۲] N. Jafarifar, M.M. Behzadi, M. Yaghini, The effect of strong ambient winds on the efficiency of solar updraft power towers: A numerical case study for Orkney, *Renewable Energy* ۱۳۶ (۲۰۱۹) ۹۳۷-۹۴۴.
- [۱۳] E. Gholamalizadeh, M.-H. Kim, Thermo-economic triple-objective optimization of a solar chimney power plant using genetic algorithms, *Energy* ۷۰ (۲۰۱۴) ۲۰۴-۲۱۱.
- [۱۴] E. Gholamalizadeh, M.H. Kim, Multi-objective optimization of a solar chimney power plant with inclined collector roof using genetic algorithm, *Energies* ۹(۱۱) (۲۰۱۶) ۹۷۱.
- [۱۵] O.A. Najm, S. Shaaban, Numerical investigation and optimization of the solar chimney collector performance and power density, *Energy conversion Management* ۱۶۸ (۲۰۱۸) ۱۰۰.۱۶۱-
- [۱۶] S. Kiwan, I. Salim, A hybrid solar chimney/photovoltaic thermal system for direct electric power production and water distillation, *Sustainable Energy Technologies Assessments* ۳۸ (۲۰۲۰) ۱۰۰۶۸۰.
- [۱۷] M.R. Torabi, M. Hosseini, O.A. Akbari, H.H. Afrouzi, D. Toghraie, A. Kashani, A.a. Alizadeh, Investigation the performance of solar chimney power plant for improving the efficiency and increasing the outlet power of turbines using computational fluid dynamics, *Energy Reports* ۷ (۲۰۲۱) ۴۵۵۵-۴۵۶۵.
- [۱۸] R.B. Weli, S.A. Atrooshi, R. Schwarze, Investigation of the performance parameters of a sloped collector solar chimney model—An adaptation for the North of Iraq, *Renewable Energy* ۱۷۶ (۲۰۲۱) ۵۰۴-۵۱۹.
- [۱۹] Y. Amudam, V.P. Chandramohan, Influence of thermal energy storage system on flow and performance parameters of solar updraft tower power plant: A three dimensional numerical analysis, *Journal of Cleaner Production* ۲۰۷ (۲۰۱۹) ۱۳۶-۱۵۲.

- [۲۰] K. Nagano, T. Mochida, S. Takeda, R. Domański, M. Rebow, Thermal characteristics of manganese (II) nitrate hexahydrate as a phase change material for cooling systems, *Applied Thermal Engineering* ۲۳(۲) (۲۰۰۲) ۲۲۹-۲۴۱.
- [۲۱] G. Xu, T. Ming, Y. Pan, F. Meng, C. Zhou, Numerical analysis on the performance of solar chimney power plant system, *Energy Conversion Management* ۵۲(۲) (۲۰۱۱) ۸۷۶-۸۸۳.
- [۲۲] S.A. Kalogirou, Solar thermal collectors and applications, *Progress in energy Combustion Science* ۳۰(۳) (۲۰۰۴) ۲۳۱-۲۹۵.
- [۲۳] P. Motiei, M. Yaghoubi, E. GoshtasbiRad, Transient simulation of a hybrid photovoltaic-thermoelectric system using a phase change material, *Sustainable Energy Technologies Assessments* ۳۴ (۲۰۱۹) ۲۰۰-۲۱۳.
- [۲۴] M. Karami, F. Javanmardi, Performance assessment of a solar thermal combisystem in different climate zones, *Asian Journal of Civil Engineering* ۲۱(۵) (۲۰۲۰) ۷۵۱-۷۶۲.
- [۲۵] M. Baneshi, S.A. Bahreini, Impacts of hot water consumption pattern on optimum sizing and techno-economic aspects of residential hybrid solar water heating systems, *Sustainable Energy Technologies Assessments* ۳۰ (۲۰۱۸) ۱۳۹-۱۴۹.
- [۲۶] A. Mostafaeipour, Economic evaluation of small wind turbine utilization in Kerman, Iran, *Energy Conversion Management* ۷۳ (۲۰۱۳) ۲۱۴-۲۲۵.
- [۲۷] R. Panahi, M.H. Khanjanpour, A.A. Javadi, M. Akrami, M. Rahnama, M. Ameri, Analysis of the thermal efficiency of a compound parabolic Integrated Collector Storage solar water heater in Kerman, Iran, *Sustainable Energy Technologies Assessments* ۳۶ (۲۰۱۹) ۱۰۰۵۶۴.
- [۲۸] N. Askari, M.H. Taheri, Numerical investigation of a MHD natural convection heat transfer flow in a square enclosure with two heaters on the bottom wall, *Karafan Quarterly Research Journal* ۳۹(۱) (۲۰۲۰) ۱۰۱-۱۲۱.
- [۲۹] H. Beji, D. Gobin, Influence of thermal dispersion on natural convection heat transfer in porous media, *Numerical Heat Transfer* ۲۲(۴) (۱۹۹۲) ۴۸۷-۵۰۰.
- [۳۰] M. Masoumnezhad, M.A. Kazemi, N. Askari, M.H. Taheri, M. Ghamati, Semi-Analytical Solution of Unsteady Newtonian Fluid Flow and Heat Transfer between two Oscillation Plate under the Influence of a Magnetic Field, *Karafan Quarterly Research Journal* ۱۸(۱) (۲۰۲۱) ۳۵-۶۲.
- [۳۱] F.R. Menter, Two-equation eddy-viscosity turbulence models for engineering applications, *AIAA Journal* ۳۲(۸) (۱۹۹۴) ۱۵۹۸-۱۶۰۵.
- [۳۲] S. Hu, D.Y.C. Leung, J.C.Y. Chan, Numerical modelling and comparison of the performance of diffuser-type solar chimneys for power generation, *Applied Energy* ۲۰۴ (۲۰۱۷) ۹۴۸-۹۵۷.
- [۳۳] Y. Xu, X. Zhou, Performance of divergent-chimney solar power plants, *Solar Energy* ۱۷۰ (۲۰۱۸) ۳۷۹-۳۸۷.
- [۳۴] R. Rabehi, A. Chaker, T. Ming, T. Gong, Numerical simulation of solar chimney power plant adopting the fan model, *Renewable Energy* ۱۲۶ (۲۰۱۸) ۱۰۹۳-۱۱۰۱.